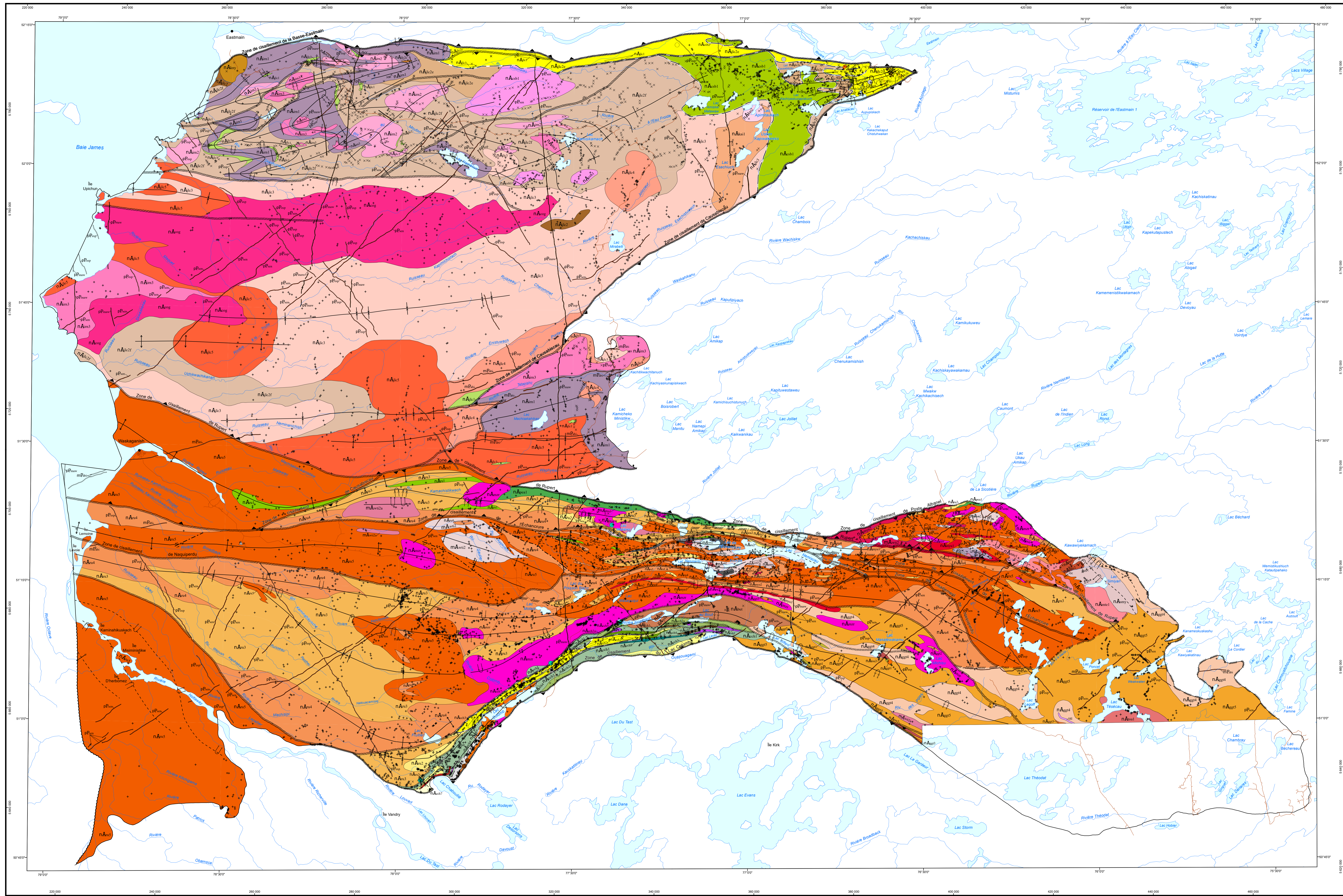
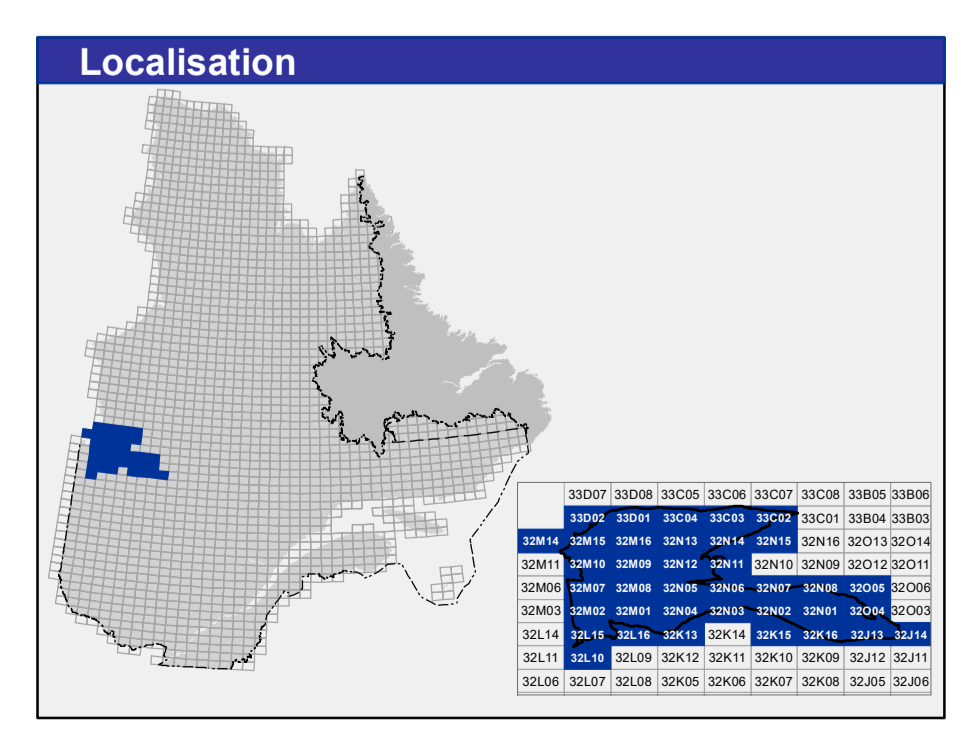


Synthèse géologique de la Sous-province de Nemiscau, Eeyou Istchee Baie-James, Québec, Canada



LÉGENDE STRATIGRAPHIQUE

- MÉSOPTÉROZOÏQUE**
- Dates de l'Abitibi (1460 à 1202 Ma, Krogh et al., 1987)
 - Dates (E-W) : gabbro à oléite
- PALEOPROTÉROZOÏQUE**
- Dates de Shipigan (2064 à 1999 Ma, Hamilton, communication personnelle, 2011 et 2016)
 - Dates (NW-SE) : gabbro
 - Dates de La Esprit (2069 à 2101 Ma, Hamilton, communication personnelle, 2011 et 2016)
 - Dates (NW-SE) : gabbro à gabbroite
 - Dates de Semetene (2243 à 2124 Ma, Buchan et al., 1993; 2014 Ma, Buchan dans Buchan et al., 1996; 2021 à 2144 Ma, Davis et al., 2018)
 - Dates (NE-SW) : gabbroite
 - Dates de Mouchewah (2473 à 2448 à 2443 Ma, Noonan, 1997)
 - Dates (N-S) : gabbro
- PROVINCE DU SUPÉRIEUR**
- SOUS-PROVINCE DE NEMISCAU**
- NÉOARCHÉEN**
- Suite de Masayoual : Pegmatite granitique rose, présence de grande roche par endroit
 - Grande roche à biotite et magnétite
 - Suite de Kapiwak : Syéno granite
 - Monogranite porphyroïque très magnétique
 - Suite de Mouchewah (2072 à 2021 Ma, Davis et al., 1998) : Pegmatite granitique blanche à muscovite-grenat à biotite, localement granodiorite
 - Suite de Carababou : Pegmatite granitique blanche à apatite
 - Pegmatite granitique blanche à muscovite-grenat à biotite à surmatine
 - Pluton de Yaseau (2088 à 2059 Ma, Davis, communication personnelle 2020) : Monogranite à quartz
 - Suite de Cognan : Granite porphyroïque
 - Suite de Simeyan : Leucogranite
 - Charnockite, granodiorite à hyperthène
 - Suite de Murt : Granodiorite porphyroïque foliée
 - Monodiorite, monodiorite quartite et monodiorite quartite, porphyroïdes, folies et localement à structure spéculaire et granodiorite
 - Intrusion de Lac au Bout : Diabase, monodiorite et granodiorite fortement foliées
 - Intrusion mafique ultramafique de Kinepijakié : Gabbro et pyroxénite
 - Pans-croûtes mafiques de Niaké : Gabbro
 - Complexes de Ginguet : Datarite dérivée de paragneiss, contenant de 50 à 90 % de mobilisé et de 10 à 30 % d'inclusions de paragneiss; Microdiorite dérivée de paragneiss, contenant de 20 à 50 % de mobilisé; injections de granite à biotite et grenat; Paragneiss à biotite et hornblende dérivé de wacke, migmatité, contenant de 10 à 20 % de mobilisé; sections de granite à biotite et grenat; Paragneiss à biotite et hornblende dérivé de wacke, contenant <10 % de mobilisé; Paragneiss et métavolcanite intermédiaires
 - Complexes de Ripout (2083 à 2474 Ma, Davis, 2020) : Datarite dérivée de paragneiss, contenant de 50 à 90 % de mobilisé et de 10 à 30 % d'inclusions de paragneiss; Microdiorite dérivée de paragneiss contenant de 20 à 50 % de mobilisé; injections de granite à biotite et grenat; Paragneiss migmatité, contenant 10 à 20 % de mobilisé; injections de granite à biotite et grenat; Paragneiss à biotite-hornblende et grenat, contenant <10 % de mobilisé; Amphibolite dérivée de basalte; présence locale de niveau de tuf intermédiaire à lésique amphibolitique
 - Complexes de Jolicoeur (2700 à 2474 Ma, Beauchamp et al., 2015; 2097 à 2018 Ma, Davis, 2018) : Datarite dérivée de paragneiss, contenant >75 % de mobilisé; injections de granite à biotite et grenat; Datarite dérivée de paragneiss, contenant de 50 à 75 % de mobilisé; injections de granite à biotite et grenat; Microdiorite dérivée de paragneiss, contenant de 25 à 50 % de mobilisé; injections de granite à biotite et grenat; Paragneiss à biotite et hornblende et grenat à amphibolite à silicates cordons, contenant moins de 25 % de mobilisé; Formation de fer à sulfures et formation de fer à silicates; Paragneiss à grenat et sillimanite et cordérite, généralement migmatité; Paragneiss à grenat et sillimanite et cordérite, massif; Paragneiss à biotite et hornblende, massif; Paragneiss à biotite et hornblende, généralement fine; Silts, mudstone et localement niveaux de conglomérat; Conglomérat mafique à polytypique et gris; Amphibolite dérivée de basalte; présence locale de niveau de tuf intermédiaire à lésique amphibolitique et de formation de fer à cailles
- MÉSOARCHÉEN**
- Complexes de Rivière au Mouton (2706 à 2100 Ma, Mouchal et Legault, 2002) : Granodiorite et granite injectés dans le paragneiss
 - Granodiorite et granite injectés dans le paragneiss
 - Tonalite et granodiorite enclaves de paragneiss à biotite-grenat
 - Ferrous du Pave (2716 à 26 Ma, Davis, 2018) : Volcanoclastique tétraéde - rhyolite
 - Basalte et basalte andésitique amphibolitique; présence locale de niveau de paragneiss
 - Groupe de Colomb-Chabouff (2768 à 24 Ma, 2763 à 26 Ma, Davis, 2018) : Conglomérat polytypique
 - Paragneiss à biotite et hornblende
 - Formation de fer et quartzite rubanés
 - Pénitente et pyroxénite
 - Gabbro et gabbroite et localement gabbroite à oléite
 - Volcanoclastiques tétraédres et intermédiaires : andésite, dacite, rhyolite-dacite et rhyolite
 - Volcanites intermédiaires porphyroïques : andésite, présence locale de basalte andésitique
 - Andésite ocellées, localement porphyroïques; niveau de tuf intermédiaire à lésique
 - Basalte et basalte andésitique amphibolitique
- MÉSOARCHÉEN**
- Complexes de Wapigo (2714 à 26,6 Ma; 2787 à 211 Ma, Pedreira Perez, communication personnelle 2020) : Tonalite et granodiorite à pyroxène-hornblende
 - Granodiorite à pyroxène-hornblende
 - Granodiorite à pyroxène-hornblende
 - Granodiorite à pyroxène-hornblende
 - Gabbro tonalitique, localement granitique
 - Datarite dérivée de roches de composition tonalitique à dioritique, contenant 50 à 90 % de mobilisé et 10 à 30 % d'inclusions de tonalite ou de diorite
 - Métavolcanite dérivée de roches de composition tonalitique à dioritique, contenant 20 à 50 % de mobilisé
- LÉGENDE LITHOLOGIQUE**
- NÉOARCHÉEN**
- id Pénitente
- ZONE FAVORABLE À L'EXPLORATION MINIÈRE**
- Orange : Cuivre
 - Vert : Éléments du groupe du platine
 - Jaune : Lithium
 - Rouge : Or
- INDICE ET GITE**
- Point bleu : Argent, sélénium
 - Point orange : Cuivre, éléments du groupe du platine
 - Point vert : Lithium, nickel
 - Point rouge : Or, tungstène
 - Point noir : Pierre concassée
- Cette carte géologique est formée d'après les données des cartes (ou croquis) qui regroupent les divers éléments du document (zones géologiques, hydrographie, affluents de grande eau). Ces données proviennent des archives du ministère de la Géologie et du Vallée du Saguenay et d'Adrien Archaud-Réaume D. Les symboles et abréviations utilisés sur cette carte sont identiques dans la publication DR 2016-06 du ministère des Ressources naturelles et des Forêts.



Métadonnées

Surface de référence géologique : Ellipsoid GRS 80

Système de référence géologique : NAD 83 compatible avec le système mondial WGS 84

Projection cartographique : Mercator transverse universelle (MTU), Louis 18

Longitude d'origine : 77° 15'

Latitude d'origine : 0'

Sources

Données	Organisme
Base de données géographiques et administratives (SIGCA 1A)	Ministère des Ressources naturelles et des Forêts

Réalisation

Géologie : Daniel Bédard, Emmanuel Caron-Côté, Rocio Pedreira Perez, Myriam Côté-Roberge, Willem Charles-Montreuil (2021)

Références : Bédard, D., Douchette, Y. (2011). RG 2011-21. Bédard, D., Douchette, Y. (2018). RG 2018-03. Bédard, D., Douchette, Y. (2019). RG 2019-06. Bédard, D., Douchette, Y. (2020). RG 2020-01. Bédard, D., Douchette, Y. (2021). RG 2021-01. Bédard, D., Douchette, Y., et al. (2018). Mémorandum de l'Agence NRS. Via 44, N° 7, Map 043 à 054. Charette, S., Lavallée, J. (2014). GM 6019.

Assistance technique : Karine Abard

Production : Ministère des Ressources naturelles et des Forêts, Direction générale de Géologie Québec

Diffusion : Ministère des Ressources naturelles et des Forêts, Direction de l'information géologique et de la promotion

Le présent document n'a aucune portée légale.
© Gouvernement du Québec, 4^e trimestre 2022

Références

Chesniko, A. (1976). DP 302	Gilvin, P.R., Rennie, J.H. (1961). Carte 1610
Clews, R. S., Harris, E. S., Galimberti, C. (2020). MB 2020-02	Mouchal, A., Davis, E. (1996). RG 99-04
Dubé, C. (1978). DP 255	Mouchal, A., Davis, E. (2000). RG 2000-04
François, A. (1975). DP 293	Mouchal, A., Vézina, C., Dubé, C., Davis, E., Davis, D. W., Parent, M. (2001). RG 2001-08
François, A. (1979). DP 339	Mouchal, A., Legault, M. (2002). RG 2002-09
François, A. (1982). DP 362	Rennie, J.H. (1961). RG 04
François, A. (1983). DP 382	Rennie, J.H., Armstrong, F. (1974). DP 274
François, A. (1984). DP 399	Wells, J. (1973). DP 146
Gilvin, P.R. (1964). DP 179	
Gilvin, P.R. (1973). DP 166	

BG 2021-03-C01

Carte du Bulletin géologique : <http://gis.mines.gouv.qc.ca/bulletin-geologique/index.html>

Pour obtenir les données les plus récentes concernant cette région, nous vous recommandons de consulter le portail géologique du Système d'information géographique du Québec (SIGÉOQ).

Bulletin géologique

SAGÉOQ
Système d'information géographique du Québec

Ministère des Ressources naturelles et des Forêts
Québec